

討15 破壊様式の遷移を伴う低温破壊靭性の評価に関する研究

東京工業大学工学部 ○平野一美 小林英男 中沢一

1. 緒言

著者らはこれまでに高強度鋼を対象にして低温を含む一連の破壊靭性試験を行ない、有効な平面ひずみ破壊靭性値 K_{IC} を求めるまでの問題点を明らかにしてきた。さらにその試験結果を踏えて、小型の試験片から K_{IC} を推定する破壊靭性試験法、すなわち疲労予き裂領域と急速破壊領域との間に観察されるストレシテ・ゾーンの解析を主体としたフラクトグラフィ的手法に基づく J_{IC} 試験法を提案し、その試験法の有効性を確認した。^{(1)~(3)} しかし J_{IC} 試験法のさらに広い意味での有効性は、 K_{IC} を得るこれが事実上困難な高温から破壊様式の遷移を伴う低温までの広範囲な温度域にわたる破壊靭性値の評価により立証されるものと考えられる。そこで本研究では、破壊様式の遷移挙動に注目して低温破壊靭性値の評価という観点から高強度低靱性材料 SNCM8、低強度高靱性材料 SS41 を供試材として破壊靭性試験を行ない、 $SNCM8$ のような高強度鋼の低温から低強度鋼の低温破壊靭性値の遷移域においてもデインプル破壊からべき開破壊への破壊様式の遷移があるにもかかわらず、ストレシテ・ゾーンの存在は確認されており、さらに遷移全域にわたって K_{IC} を求めることはかなりの試験片厚さが必要とすることも認識されており、そのような遷移域で小型の試験片から K_{IC} を推定する上で提案した J_{IC} 試験法がかなり有効な試験法と考えられる。そこで、そのような遷移域においても提案した J_{IC} 試験法が有効であるか否かの検討を含めて破壊靭性試験を行なった。

2. 材料および実験方法

実験に供した材料は $850^{\circ}\text{C} \times 40\text{ min}$ 油焼入熱、 $600^{\circ}\text{C} \times 90\text{ min}$ 水冷焼もどし熱処理を施した SNCM8 と市販の一般構造用圧延鋼材 SS41 の 2 種類であり、直径 5° 、平行部長さ 25 mm ハンバ付試験片を用いて行ない、低温での引張試験結果を表 1 に示す。

図 1 に用いた試験片の形状・寸法を示す。室温における SNCM8 の K_{IC} やより J_{IC} 試験には一部 (a) に示すエンパクト・テンショレータ Δ (以下 CT と略記) の試験片を用いたが、低温における試験には両材とも (b) に示す三点曲げ試験片を用いた。試験片には 0.5 mm の砥石でミエブローリ状の切欠きを付けており、ASTM 規格により、疲労予き裂を、 K_{IC} 試験片については $a/W = 0.5$ 、 J_{IC} 試験片については $a/W = 0.6$ にするように入めた。

K_{IC} 試験は ASTM 規格の平面ひずみ破壊靭性試験法に従って行ない、また J_{IC} 試験は提案した試験法に従って行なった。

試験は溶剤としてドライアイスとエチルアルコールおよび液体窒素を用いて室温から -196°C の温度範囲で行なった。

フラクトグラフィ的観察は SNCM8 については透過型、SS41 については走査型電子顕微鏡により応力の最も多い試験片の厚さ方向の中央部について行なった。

表 1 Mechanical properties

Material	Test Temp. deg.C	σ_{ys} kg/mm ²	σ_B kg/mm ²	ϵ %	δ %
SS41	+15	27.1	41.0	70.7	34.0
	-35	37.6	46.0	69.7	32.6
	-70	42.3	51.9	68.4	33.6
	-100	51.9	57.9	61.7	23.2
	-140	59.0	66.6	60.4	19.2
	-190	83.9	75.4	9.4	5.7
SNCM8	+15	109	116	54.5	18.2
	-70	114	122	54.8	14.9
	-140	124	133	49.6	14.2
	-190	148	153	42.9	10.4

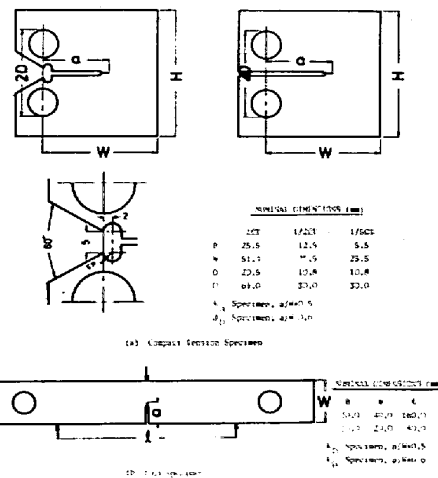


図 1 試験片の形状・寸法

3. 実験結果および考察

3.1 K_{IC} 試験結果 図2、図3にSNCM8およびSS41の低温における破壊靭性試験結果を示す。ここで、 K_Q はASTM規格の5% less法により求めた見掛け上の破壊靭性値であり、試験片厚さが判定基準 $B \geq 2.5(K_Q/\sigma_y)^2$ (以下、 σ_y は降伏応力)を満足せば"invalid"と判定されたデータである。また K_C は最高荷重 P_{max} より求めた K_{max} を反りに K_C として表示したものであり、全試験温度範囲で不安定破壊開始時の破壊靭性値 K_C と完全には対応せず、このようない表示には多少問題があるが、一応参考のためにプロットした。図から高強度鋼SNCM8の K_{IC} は本実験の温度範囲で試験温度上昇とともに緩やかに増大し、 K_{IC} はlower shelfの存在は認められず、またすべり遷移挙動も顕著ではないことがわかる。これに対してSS41の K_{IC} は試験片厚さ $B=20mm$ までの本実験から温度 $T = -100^{\circ}\text{C}$ 以下の低温域でしか認められず、それ以上の温度域における K_{IC} と試験温度との依存性については明らかでないが、 K_{IC} は明らかにlower shelfの存在が認められ、 -100°C 前後から急激な遷移挙動が見えてことがわかる。このように低温における破壊模式が遷移に伴って破壊靭性が低下する傾向がある低強度鋼SS41においても、遷移全域において通常の実験室で行なう試験片厚さでは K_{IC} を求めることが困難であることがわかる。したがってSS41のような低強度鋼の破壊靭性値の遷移挙動を把握する上で最も比較的小型の試験片から K_{IC} を評価する試験法の確立は実際上からも重要な問題であると考える。

3.2 J_{IC} 試験結果

低温での J_{IC} 試験結果について述べる前に室温における J_{IC} 試験から実験的に J_{IC} 破壊条件の有効性を検討した結果について簡単に記述する。

図4はSNCM8の $1/5\text{CT}$, $1/2\text{CT}$ および 1CT 試験片について、フラクトグラフィ的観察からのストレシテーションの幅 SZW を J に対してプロットした室温での結果である。安定破壊(引裂き破壊領域が存在)が介在するか否かの限界で決定した J_{IC} は試験片厚さによらずほぼ一定となり、この場合の安定破壊が開始する際の J の値を J_{IC} と呼ぶことは妥当であると考えられる。また、 J_{IC} に達する以前の $SZW-J$ 曲線は、 J の値が小さき範囲で多少バラつきがあるが、試験片厚さによらず一定であることがわかる。さらに、安定破壊が開始した以後の SZW は破壊の進行によらず一定となることもわ

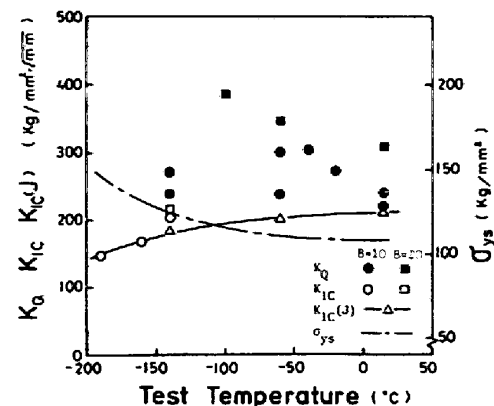


図2. SNCM8の破壊靭性値の温度依存性

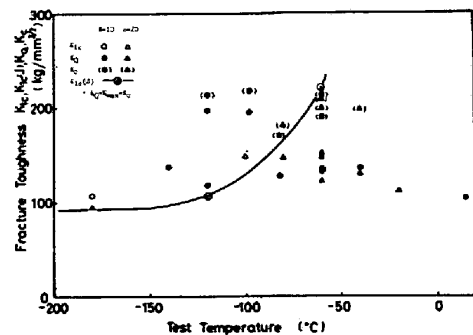


図3. SS41の破壊靭性値の温度依存性

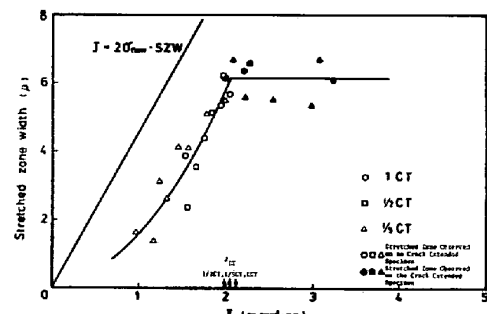


図4. J_{IC} の試験片厚さの影響

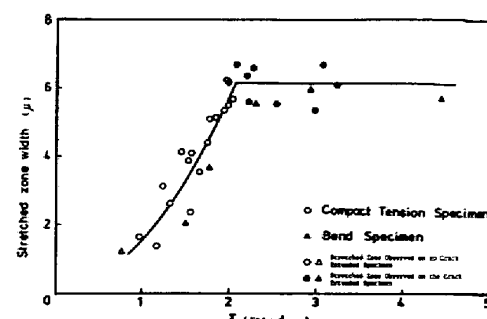


図5 J_{IC} の荷重形式の影響

がよ。

図5は室温におけるSNCM8のCT試験片および三点曲げ試験片による J_{IC} 試験結果である。安定破壊面存するか否かの限界値として決定した J_{IC} は両者においてほぼ一致する。このように J_{IC} が荷重形式に依存しないことは、ASTM規格に従って決定された K_{IC} に荷重形式の影響が存在するという従来からの報告とも関連して重要な意味を持つものと考えられる。

以上図4および図5の結果から、安定破壊の開始点で決定した J_{IC} は K_{IC} よりもさらに広い試験片厚さの範囲で一定となる⁽⁷⁾が、かつ荷重形式に依存しない有用な破壊条件であることがわかる。

図6はSNCM8の試験片厚さ $B = 10\text{ mm}$ の三点曲げ試験片による温度 $T = -140, -60$ および $+15^\circ\text{C}$ における J_{IC} 試験結果である。一般に J とき裂先端開口変位 CTOD との間に $\propto \sqrt{J}$ を介して一義的な関係が存在するはずであるから、Begleyらが仮定して $\exists J = 2\sqrt{f_{flow}} \cdot \delta_{TW}$ （ここで $f_{flow} = (\sigma_B + \gamma_B)/2$ である）なら簡単な表式が可能であるか否かは別問題として、 δ_{TW} と J との関係には $\propto \sqrt{J}$ か何らかの形で関与しているはずである。しかし図6においてはそのような傾向は顕著ではない。そこで、 δ_{TW} と J の関係を試験温度に無関係な1本の曲線で近似した。また、 δ_{TW} は試験温度の低下とともに減少しているが、それだけの試験温度で破壊の進行に影響されずにはほぼ一定となることは前述したとおりである。この δ_{TW} と $\delta_{TW}-J$ 曲線より求めたそれぞれの試験温度における J_{IC} は図に△印および表2に示すように $1.45, 1.80$ および $2.03 (\text{kg/mm}^2 \cdot \text{mm})$ となり、試験温度の上昇にともない増大している。

次にSNCM8よりもさらに破壊様式の遷移挙動が顕著であるSS41の J_{IC} 試験結果について述べる。試験温度は、 K_{IC} のlower shelf域に近く、かつ K_{IC} が得られていない温度として $T = -120^\circ\text{C}$ および K_{IC} の遷移挙動域として $T = -60^\circ\text{C}$ を選んだ。 $T = -120^\circ\text{C}$ においては $B = 10\text{ mm}$, $T = -60^\circ\text{C}$ においては $B = 20\text{ mm}$ の試験片を用いた。得られた結果は表2に示すように、それぞれ 0.5 および $2.12 (\text{kg/mm}^2 \cdot \text{mm})$ となった。

一般に小規模降伏状態においては J と K との間には次式のような関係が成立する。

$$K = (EJ / (1-\nu^2))^{1/2} \quad (1)$$

ここで、 E は綫弾性係数および ν はポアソン比である。そこで上式より J_{IC} を見掛け上の破壊韌性値 $K_{IC}(J)$ に換算した。その結果を表2に示す。さらに試験温度に対してプロットすると、SNCM8については図2に△印で、SS41については図3に○印で示すように J_{IC} 試験結果と K_{IC} 試験結果とは良く一致することがわかる。さらに、SS41の $K_{IC}(J)$ の試験温度による変化は後述する δ_{TW} の試験温度による変化と照合せても K_{IC} の変化として妥当であると思われ、 J_{IC} 試験によれば、 K_{IC} 試験では有効な平面ひずみ破壊韌性値が得られない温度域においても破壊韌性値が評価できること。

以上SNCM8およびSS41の試験結果から、提案した J_{IC} 試験法に従えば、小型な試験片より低温破壊韌性値の遷移挙動が評価できることを考えられる。

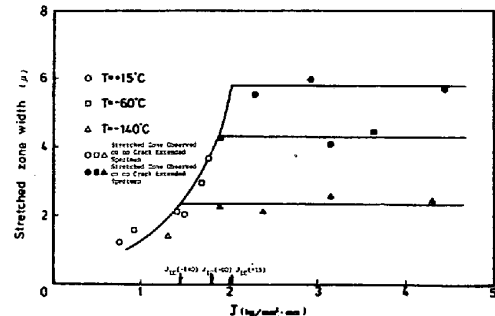


図6. SNCM8の低温における J_{IC} 試験結果

表2 J_{IC} test results

Material	Specimen	Test Temp. deg.C	B mm	J_{IC} $\text{kg/mm}^2 \cdot \text{mm}$	$K_{IC}(J)$ $\text{kg/mm}^2 \cdot \text{mm}$
SNCM8	1CT	+15	25.4	2.12	221
	1/2CT	+15	12.5	1.98	214
	1/5CT	+15	5.5	2.04	217
	10×20*	+15	10	2.03	216
	10×20*	-60	10	1.80	203
	10×20*	-140	10	1.45	183
SS41	20×20*	-60	20	2.12	221
	10×20	-120	10	0.50	107

* 3 point bend specimen

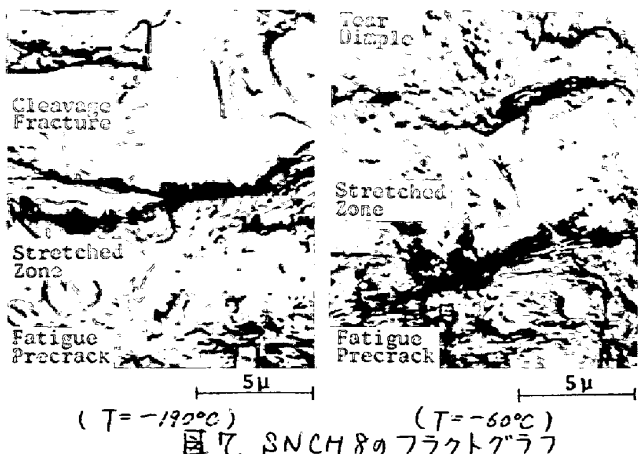


図7. SNCH8のフラクトグラフ



図8. SS41のフラクトグラフ

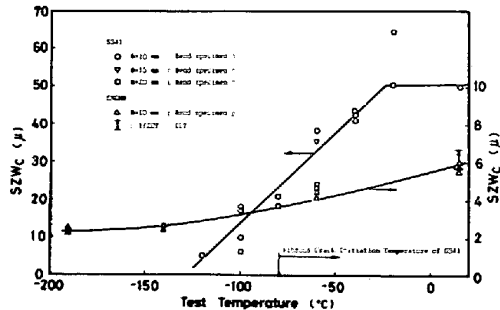
さて最後に疲労予き裂先端に観察される破壊が開始する際の限界のストレシテ・ゾーンの幅 ΔSZW_c は試験温度による変化について述べる。破面のフラクトグラフィ的観察より得られた代表的なフラクトグラフを図7、図8に示す。SNCH8については、 $T = -100^\circ\text{C}$ 以下においては急速破壊はディンパル破壊よりへき開破壊へ遷移していることが、図7(a)に示すように $T = -190^\circ\text{C}$ においてもストレシテ・ゾーンが存在することがわかる。SS41については図8(a)に示すように $T = -80^\circ\text{C}$ 以下ではストレシテ・ゾーン形成後直ちにへき開破壊

しているが、試験温度の上昇に伴ないティヤーディン ΔL で特徴づけられる安定破壊が介在してからへき開破壊するようになる。以上のフラクトグラフィ的観察結果から、試験温度の上昇とともに破壊韌性レベルの上昇に伴ない、 ΔSZW_c は大きくなり破壊韌性値を反映していることがわかる。この ΔSZW_c の試験温度に対する変化を示したのが図9である。現在、 ΔSZW_c の温度依存性についてはいろいろな報文があり、統一的な見解は得られていない。図から ΔSZW_c は温度の上昇に伴ない増大していることがわかる。すなわち、試験温度が増加すれば当然のことながら材料の機械的性質もまた伸びてくことはあるが、 ΔSZW_c は温度とともに増大するものと著者らは考えた。(しかししながら、 -30°C 前後から試験温度に無関係にほぼ一定値となる傾向を示す。 ΔSZW_c の実験結果については、たまたま一定値になったために過ぎないものが、 ΔSZW_c はこの温度域における機械的性質の変化が小さることや破壊韌性値がupper shelf域とも対応して ΔSZW_c が一定値となる。たしかに今後詳細な実験が必要かと思われる。いずれにしても ΔSZW_c が一定値となる温度と安定破壊が介在し始める温度とは図9に示すように必ずしも一致しなかった。また、試験片厚さを種々に変化させた($1(T) \sim 10(T)$)試験片による室温におけるSNCH8の結果からには試験片厚さを $10 \sim 20\text{ mm}$ と変化させた $T = -60^\circ\text{C}$ でのSS41の三点曲げ試験片による結果を併せて考えると、 ΔSZW_c は試験片形状・寸法に依存しないことがある。

4. 結言

破壊模式の遷移を伴なう低温破壊韌性の評価という観点から、SNCH8およびSS41を供試材として、先に提案したフラクトグラフィ的手法に基づくJEC試験法に従って低温破壊韌性試験を行ない、破壊韌性値の遷移挙動を明らかにした。

〈参考文献〉省略。なお、データは著者ら以下の文献より集録したものである。小林ら、機講論No. 750-11 p261~p269、平野ら、機講論No. 760-9, p151、平野ら「機講論(852-4)機械学会発表院」

図9. ΔSZW_c の温度依存性